

TN841-1, Figur D4Wd: 16 ekvidistante trinn $W-R_d; W-G_d; W-B_d; W-N$; $rgb/cmy0 \rightarrow rgb_d$ setrgbcolor

+-.:	Q	O	Q	O	C	lmno	C	O	C	O	C	pqrs	O	O	O	O	uvwxyz	O	O	O	O
xyz;	O	O	O	O	C	hijk	O	C	O	C	O	lmno	O	O	O	O	pqrs	O	O	O	O
tuvw	O	O	O	O	C	defg	O	O	O	C	O	hijk	O	O	O	O	defg	O	O	O	O
pqrs	O	O	O	O	C	!abc	O	O	O	C	O	+-.:	O	O	O	O	!abc	O	O	O	O
lmno	O	O	O	O	C		O	O	O	C	O	xyz;	O	O	O	O	tuvw	O	O	O	O
hijk	C	C	C	C	C		O	O	O	C	O	defg	O	O	O	O	!abc	O	O	O	O
defg	O	O	O	O	C		O	O	O	C	O	6	N	R _d	G _d	B _d	Z				
!abc	O	O	O	O	C		O	O	O	C	O	8	N	R _d	G _d	B _d	Z				
10																					

R_d
 G_d
 B_d
 N

TN841-3, Figur D5Wd: Skrift Landoltringer $N; R_d; G_d; B_d; Z; PS$ operator $rgb \rightarrow rgb_d$ setrgbcolor

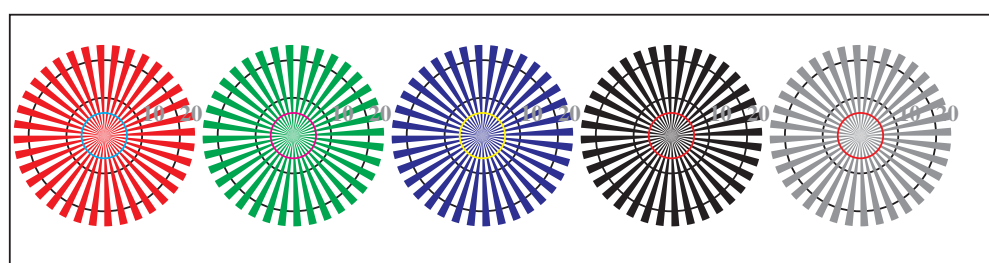
	0-1	0-1
Landoltringer $W-R_d$	7-8	7-8
Code	E-F	E-F
Landoltringer $W-G_d$	2-0	2-0
Code	8-6	8-6
Landoltringer $W-B_d$	F-D	F-D
Code		

0-1
0-1
7-8
E-F
E-F
2-0
2-0
8-6
8-6
F-D
F-D
0-1
0-1
7-8
E-F
E-F
2-0
2-0
8-6
8-6
F-D
F-D

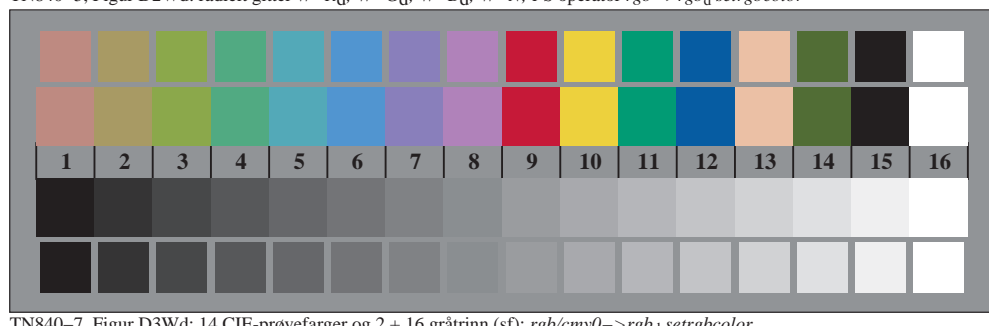
TN841-5, Figur D6Wd: Landoltringer $W-R_d; W-G_d$; PS operator $rgb \rightarrow rgb_d$ setrgbcolor

	0-1	0-1
Landoltringer $W-B_d$	7-8	7-8
Code	E-F	E-F
Landoltringer $W-N$	2-0	2-0
Code	8-6	8-6
Landoltringer $W-N$	F-D	F-D
Code		

0-1
0-1
7-8
7-8
E-F
E-F
2-0
2-0
8-6
8-6
F-D
F-D
0-1
0-1
7-8
E-F
E-F
2-0
2-0
8-6
8-6
F-D
F-D



radelt gitter $W-R_d$ radelt gitter $W-G_d$ radelt gitter $W-B_d$ radelt gitter $W-N$ radelt gitter $W-Z$



TN840-7, Figur D3Wd: 14 CIE-prøvefarger og 2 + 16 gråtrinn (sf); $rgb/cmy0 \rightarrow rgb_d$ setrgbcolor